

Исследование методов реализации фильтра Собеля на реконфигурируемых вычислительных системах

Е. Е. Таратута¹

Московский Государственный университет имени М. В. Ломоносова, факультет вычислительной математики и кибернетики, Москва 119991 Россия¹

Основной мотивацией послужила растущая популярность реконфигурируемых ПЛИС в области высокопроизводительных вычислений, а также необходимость исследовать особенности написания эффективных программ с использованием инструмента Altera SDK for OpenCL, позволяющего писать приложения для ПЛИС с помощью языка программирования Си++ и стандарта OpenCL. В статье описаны особенности программной модели OpenCL и представлено исследование производительности и особенностей различных реализаций фильтра Собеля с использованием указанного инструмента.

Ключевые слова: ПЛИС, FPGA, OpenCL, фильтр Собеля, Altera OpenCL SDK

1. Введение

Крайняя гибкость программируемых логических интегральных схем (ПЛИС) и их потенциал производительности сделали их привлекательным выбором в широком диапазоне вычислительных областей, от быстрого прототипирования схем до высокопроизводительных вычислений. Увеличение количества транзисторов на чипе позволило создавать их с большим количеством вычислительных ресурсов и топологий межсоединений, что привело к созданию систем с широким спектром вариантов реализации. Раньше, учитывая ограниченную емкость устройств ПЛИС, они использовались как правило в качестве интерфейсных логических схем (glue-logic), теперь же возможность конфигурировать эти устройства позволяет инженерам-разработчикам решать множество различных задач.

ПЛИС (программируемые логические интегральные схемы), или FPGA (field programmable gate arrays), представляют собой цифровые интегральные микросхемы, состоящие из программируемых логических блоков и программируемых соединений между этими блоками.

Огромная популярность ПЛИС продиктована также возможностью их программирования на месте. То есть в отличие от устройств, внутренняя функциональность которых жестко прописана производителем, ПЛИС представляют собой своего рода "конструктор" - набор деталей, из которых можно построить любые цифровые электронные устройства неограниченное число раз. Например, вычислительное устройство, способное выполнять одну, и только одну, необходимую нам, вычислительную процедуру. После чего можно перепрограммировать устройство на выполнение другой вычислительной процедуры. ПЛИС-устройства могут программироваться как непосредственно, так и как часть некоторой уже работающей электронной системы. Во втором случае они называются внутрисистемно программируемыми.

Например, большинство процессоров не имеют специальной инструкции, которая может выполнять следующий код Си: $((A+B)|C\&D) \gg 2$. Без специальной инструкции для этого примера кода Си например процессоры CPU или GPU должны выполнить несколько инструкций по выполнению операции. Напротив, вы можете использовать ПЛИС как аппаратную платформу, которая может реализовать любой набор команд, который требует ваш программный алгоритм. Вы можете настроить FPGA на реализацию приведенного выше кода за один такт, построив соответствующий конвейер. Однако за все это великолепие приходится платить отсутствием, свойственной классическим вычислителям, возможности

использовать однажды прошитую плату для разных задач. Конкретный длинный конвейер можно построить только для реализации одной конкретной, известной заранее вычислительной процедуры. Поэтому технология длинных конвейеров и является основной именно в вычислителях на базе ПЛИС.

Однако, до недавнего времени, чтобы использовать потенциал реконфигурируемых архитектур ПЛИС, программисты вынуждены были отображать свои приложения, обычно написанные на языках программирования высокого уровня, таких как C/C++ или MATLAB, на аппаратно-ориентированные языки, такие как Verilog или VHDL. В этом процессе они должны были взять на себя роль разработчиков аппаратных средств и системных программистов, и перемещаться по лабиринту программных преобразований для создания эффективных реконфигурируемых вычислительных реализаций. Необходимо было выделить комбинационную и последовательную логику приложений [5], сформировать определенные операции в параллельных и последовательных, конвейерных и неконвейерных частях устройства, построить операционный и управляющий автомат (автомат Мура и автомат Мили соответственно) [5], описать регистр и регистровый файл, и в конечном итоге все функции устройства описать терминами RTL (уровня регистровых передач) на языке Verilog/VHDL.

Программирование ПЛИС с помощью языков описания схем, чтобы использовать его в качестве ускорителя вычислений, представляет собой достаточно трудоемкую и нудную работу. Например программа, в которой несколько процессоров совершают несколько итераций цикла, в которых всего лишь инкрементируют одну и ту же переменную x , на языке Verilog состоит из порядка 600 строк. И хотя большинство из этих строк однотипные и отличаются только названиями того или иного провода или регистра, их все же необходимо явно прописать, не совершив при этом случайных ошибок или описок.

Увеличение количества программируемых блоков ПЛИС, увеличение размера программного кода, богатство и изощренность любого из описанных выше шагов делали вычисления с этими архитектурами все более сложным процессом.

Производители ПЛИС весьма разумно задумались о том, что нужно сокращать время, необходимое на программирование и отладку программ под ПЛИС: позволить программистам писать их легко и быстро.

Одним из вариантов написания программы для параллельных вычислений на ПЛИС, появившимся в 2012 году, является OpenCL. OpenCL является стандартом для написания параллельных программ для гетерогенных вычислительных систем. С помощью инструмента Altera SDK for OpenCL, представляющего собой набор библиотек и приложений, который позволяет компилировать код, написанный на C/C++ и OpenCL, в прошивку для ПЛИС фирмы Altera. Конструкции OpenCL синтезируются в пользовательскую логику для получения конфигурационного файла для устройства ПЛИС, что даёт возможность программисту, без знания языков описания схем, использовать ПЛИС как ускоритель.

2. Стандарт OpenCL

OpenCL (Open Computing Language, открытый язык вычислений) — это открытый стандарт для параллельного программирования, предлагающий эффективный и переносимый способ использования возможностей разнородных вычислительных многоядерных платформ (CPU, GPU, FPGA и др.). Он включает в себя программный интерфейс для координирования параллельных вычислений в среде разнородных процессоров и кроссплатформенный язык, используемый в определённом вычислительном окружении.

На конкретной системной платформе стандарт реализуется в виде исполняемых модулей (библиотек), достаточных для запуска пользовательских OpenCL-приложений. Разработка подобных приложений предполагает наличие также C/C++-компилятора для целевой платформы и набора необходимых заголовочных файлов.

OpenCL-приложение состоит из программного кода, исполняемого на хосте (host) и OpenCL-устройствах (device). Под хостом обычно понимается центральный процессор вычислительного устройства (компьютера, планшета, телефона и т.п.), а устройства OpenCL – некоторый набор вычислительных единиц, соответствующий, например, графическому процессору (GPU), многоядерному CPU, программируемой логической интегральной схеме или другим процессорам с параллельной архитектурой, доступным из хост-программы. Исполнение OpenCL-приложения, таким образом, включает исполнение хост-программы (на хосте) и исполнение специального кода на одном или нескольких OpenCL-устройствах под управлением хост-программы. На рис. 1 представлена соответствующая модель программирования OpenCL.

Программы, исполняемые на OpenCL-устройствах, содержат одно или несколько ядер (kernels — функции, помеченные специальным ключевым словом `__kernel` и являющиеся "точкой входа" в исполняемый на устройствах код), при необходимости – вспомогательные функции, вызываемые в тексте ядер, а также, возможно, константные данные.

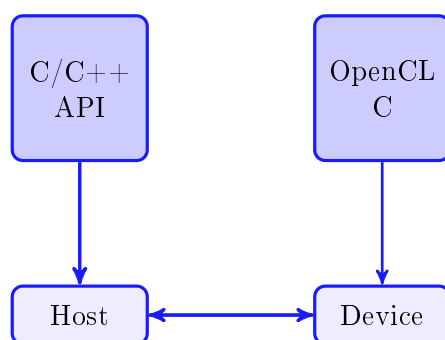


Рис. 1. Модель программирования OpenCL

Программная модель OpenCL-приложения — SIMD (Single Instruction Multiple Data) или SIMT (Single Instruction Multiple Threads): код ядра может быть исполнен одновременно на многих вычислительных единицах, каждая из которых работает со «своими» данными.

Выполнение команд в ядре происходит в объектах, называемых или рабочими единицами (work-item). Каждая рабочая единица не зависит от других и может исполнять код параллельно с остальными. Если же процесс из одной рабочей единицы хочет получить данные, используемые или уже обработанные любой другой рабочей единицей и/или обменяться данными с хостом, он может это сделать через общую память (константную, глобальную, global memory, виды памяти OpenCL подробнее описаны ниже). Также в OpenCL у каждой рабочей единицы может быть локальная память (local memory), но не любой процесс может получить к ней доступ. К локальной памяти могут обращаться только рабочие единицы одной рабочей группы (compute unit или workgroup). В зависимости от устройства в каждой из этих групп может быть различное (фиксированное или нет) количество рабочих единиц. Так же существует закрытая память (приватная, private memory) к которой рабочая единица может обращаться единолично. После запуска на сопроцессоре все процессы равнозначны и исполняют равнозначный код.

В терминологии OpenCL каждая исполняемая копия кода ядра – рабочая единица, характеризуется своими уникальными индексами: глобальным идентификатором (global ID) и локальным идентификатором (local ID). Этих индексов — два, поскольку локальный индекс характеризует конкретную рабочую единицу в рамках рабочей группы, а глобальный индекс уникально характеризует рабочую единицу независимо от принадлежности к какой-либо рабочей группе.

Модель памяти OpenCL представлена на рис 2.

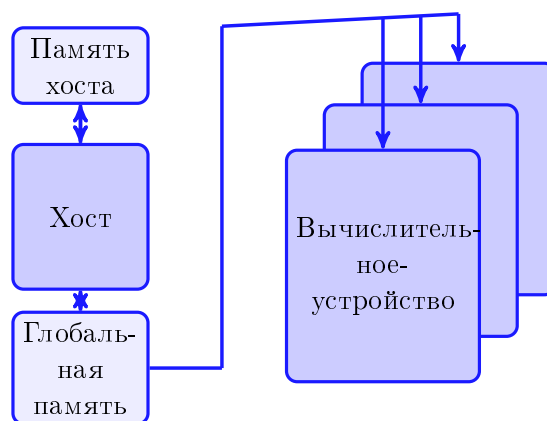


Рис. 2. Модель памяти OpenCL

Ядрам в OpenCL доступно четыре вида памяти: глобальная, константная, локальная и приватная. Все рабочие единицы имеют доступ к глобальной памяти на чтение и на запись. Входная информация переносится в глобальную память с хоста, а результаты вычислений из глобальной памяти возвращаются обратно на хост.

Константная память доступна всем рабочим единицам, но только для чтения. Выделяется и инициализируется этот вид памяти на хосте.

Локальная память — это область памяти, общая для всех рабочих единиц в рамках одной рабочей группы. Посредством неё рабочие единицы группы могут обмениваться информацией друг с другом.

Приватная память — область памяти для локальных переменных экземпляра ядра.

Иерархия памяти OpenCL представлена на рис. 3.

Любая рабочая единица имеет свою копию каждой локальной переменной, которая доступна только ей, но не другим рабочим единицам.



Рис. 3. Иерархия памяти в OpenCL

3. Исследование реализаций фильтра Собеля

В данном разделе представлены описание фильтра Собеля, варианты его реализации для ПЛИС и исследование их производительности.

Для того, чтобы писать приложения для Altera FPGA с помощью OpenCL необходимы:

- FPGA: Altera Stratix IV и старше, семейство Altera Cyclon.

- Altera Quartus 2 и старше – САПР (система автоматизированного проектирования) для проектирования и отладки проектов. Она позволяет проектировать логику работы микросхем схемотехнически и на языках программирования Verilog, VHDL, AHDL и других языках описания схем. Среда программирования Altera Quartus II так же позволяет производить симуляцию проектов, программировать микросхемы и многое другое.
- Altera OpenCL SDK for FPGA – это набор библиотек и приложений, который позволяет компилировать код, написанный на Си и OpenCL, в прошивку для ПЛИС фирмы Altera. Это даёт возможность программисту использовать ПЛИС как ускоритель высокопроизводительных вычислений без знания языков описания схем.
- Microsoft Visual Studio 2010 Pro и старше – используется для написания хост-программы и интеграцией с Altera OpenCL SDK (это вообще говоря не единственный подход, но, вероятно, самый удобный и используемый).

3.1. Фильтр Собеля

Фильтр Собеля – это оператор, вычисляющий приблизительный градиент яркости, используя градиенты изображений вдоль осей x и y . Наиболее распространенным примером практического использования является определение границ объектов на изображении, т.е. точек резкого изменения яркости.

Оператор использует ядра 3×3 , с которыми и происходит свертка рассматриваемого изображения по вертикали и по горизонтали. Пусть A – исходное изображение, представленное матрицей, элементами которой являются пиксели изображения, а G_x и G_y – два изображения, на которых каждая точка содержит приближённые производные по x и по y . В классическом варианте они вычисляются следующим образом:

$$G_x = \begin{bmatrix} -1 & -2 & -1 \\ 0 & 0 & 0 \\ 1 & 2 & 1 \end{bmatrix} * A, \quad G_y = \begin{bmatrix} -1 & 0 & 1 \\ -2 & 0 & 2 \\ -1 & 0 & 1 \end{bmatrix} * A,$$

где $*$ – операция свертки изображения, то есть каждый пиксель a_{ij} изображения, кроме граничных, изменяется по следующему правилу:

$$G_x(ij) = a_{i-1j-1} * (-1) + a_{i-1j} * (-2) + a_{i-1j+1} * (-1) + a_{i+1j-1} * 1 + a_{i+1j} * 2 + a_{i+1j+1} * 1,$$

$$G_y(ij) = a_{i-1j-1} * (-1) + a_{i-1j+1} * 1 + a_{i+1j-1} * (-2) + a_{i+1j} * 2 + a_{i+1j+1} * (-1) + a_{i+1j+1} * 1,$$

а для граничных элементов $G_x(ij) = G_y(ij) = a_{ij}$.

Величина градиента вычисляется по формуле: $G = \sqrt{G_x^2 + G_y^2}$, либо $G = |x| + |y|$. Здесь G – результат применения оператора Собеля в горизонтальном и вертикальном направлениях.

Каждый пиксель изображения может обрабатываться параллельно с другими, однако он зависит от восьми соседних, что в общем случае ведет к постоянным обращениям к одним и тем же фрагментам памяти.

3.2. Различные реализации

Начнем с первой "наивной" реализации оператора Собеля: каждый пиксель изображения обрабатывается отдельной рабочей единицей. Всего получается 1280×720 рабочих единиц (по размеру изображения). Каждая рабочая единица получает из глобальной памяти обрабатываемый элемент, 6 соседних элементов для вычисления элемента матрицы

G_x и 6 соседних элементов для вычисления элемента матрицы G_y – всего 13 обращений к памяти. Также рабочая единица вычисляет операцию свертки и градиента, и все они работают параллельно. Получаем 45 секунд. Полученное время связано с тем, что все рабочие единицы пытаются одновременно получить данные из медленной глобальной памяти, из-за чего возникает много конфликтов доступа в память.

Исправим немного первую реализацию: будем сохранять в локальных переменных 10 элементов входного массива (1 обрабатываемый пиксель, а у соседних элементов, необходимых для вычисления G_x и G_y , есть пересекающиеся), участвующих в преобразовании, чтобы избежать двукратного доступа в память. Элементы, к которым происходит лишь однократный доступ также заранее переносим в локальную память (так как ПЛИС для каждой последовательности операций способна выстроить собственный конвейер, а периодические доступы обратно в глобальную память могут его приостанавливать). Получаем 37 секунд.

Теперь рассмотрим вариант обработки каждой рабочей единицей отдельной строки (группы строк). При этом данные предварительно переносим в локальную память. Это позволит не обращаться постоянно в глобальную память, а копировать за одно обращение группы строк на устройство, а также значительно снизит нагрузку на пропускную способность памяти за счет значительного уменьшения количества работающих рабочих единиц (теперь их $1280 \cdot 720 /$ "кол-во обрабатываемых строк каждой рабочей единицей").

В таблице 1 представлены полученные результаты в зависимости от количества строк, обрабатываемых отдельной рабочей единицей: 1, 5 и 25 строк соответственно.

Таблица 1. Вычисление алгоритма Собеля для $1280 \cdot 720$. Каждая рабочая единица обрабатывает 1, 5 или 25 строк

кол-во изображений	1 строка, время сек.	5 строк, время сек.	25 строк, время сек.
1	0.071	0.029	0.018
100	6.06	2.78	2.04
500	31.05	14.76	11.14
1000	61.28	27.39	20.92
1500	92.54	44.14	31.63

Соответственно наиболее оптимальный вариант: обрабатывать по 25 строк каждой рабочей единицей. При обработке меньшего количества строк получаем достаточно много рабочих единиц, которые часто конфликтуют при доступе в память, из-за чего время работы ухудшается. При дальнейшем увеличении количества строк, обрабатываемых одной рабочей единицей: 30, 50 и т.д. вплоть до 400, получим время обработки изображений такое же, как и при обработке 25 строк. То есть несмотря на то, что происходит уменьшение количества параллельно выполняющихся рабочих единиц, а следовательно и конфликтов доступа в глобальную память, оно нивелируется с увеличением вычислительной нагрузки на одну рабочую единицу. При дальнейшем увеличении числа обрабатываемых строк одной рабочей единицей время обработки изображений начнет ухудшаться, так как про-

изойдет значительное преобладание вычислительной нагрузки на одну рабочую единицу над доступами в память.

Последнее описанное решение показывает, что без знания многих особенностей ПЛИС и основ схемотехники, можно написать код, в целом достаточно близкий по своей логике к коду для традиционных вычислителей, и получить результаты, сопоставимые с результатами, получаемыми на GPU например в [11].

В первых трех реализациях узким местом оказался обмен данными с глобальной памятью (не единственным, но основным). Эта же проблема доступа в память существует и для классических фоннеймовских архитектур. Рассмотрим теперь принципиально иной подход.

Последнее решение – это так называемый метод скользящего окна (sliding window). Пример скользящего окна на рис. 4.

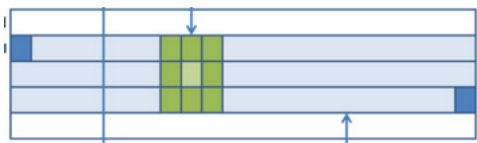


Рис. 4. Скользящее окно 3x3, обрабатывающее 2 строку и использующее для этого элементы соседних строк

Предыдущие OpenCL реализации фильтра Собеля работают, создавая сотни потоков, все работают параллельно, но в конечном итоге ограничены доступной глобальной пропускной способностью. Компилятор Altera OpenCL предлагает альтернативную модель программирования OpenCL, которая создает одно или несколько конвейерных ядер, где параллелизм исходит из сложности конвейера. Чем сложнее конвейер, тем больше операций выполняется параллельно. ПЛИС имеют значительные ресурсы локальной памяти, которые могут быть настроены различными способами: от больших одиночных буферов до сотен небольших буферов. Эта гибкость позволяет Altera OpenCL Compiler (АОС) создавать топологии памяти, специально разработанные для алгоритма, который требует ускорения. Следствием этого является значительное снижение требований к пропускной способности глобальной памяти в алгоритме. В фильтре Собеля доступ к глобальной памяти осуществляется линейно и не нуждается в оптимизации, однако для расчета каждого пикселя требуются данные из соседних точек решетки. Доставка данных может быть оптимизирована с использованием их кэшированной копии. В ПЛИС нет кэш-памяти, однако можно создавать свой кэш. Для его реализации мы и будем использовать метод скользящего окна (sliding window). Вообще говоря название не совсем точное, так как с точки зрения алгоритма окно 3x3 статично, а изображение проходит сквозь него. Этот позволяет считывать данные линейно и буферизировать в локальной памяти, из которой данные могут считываться так часто, как требуется, а данные, которые нам уже не понадобятся, будут заменяться на новые. Таким образом мы не будем хранить в памяти ничего лишнего, а весь алгоритм может быть конвейерным, чтобы генерировать результат за каждый такт. Более того, несколько конвейеров могут быть каскадированы для сбора с глобальным доступом к памяти, которые необходимы только для ввода в первый этап и выхода из заключительной стадии. Следовательно, количество пикселей вычисляемых в секунду, линейно возрастает на один этап конвейера без увеличения требований к глобальной памяти.

Для хранения строки входной матрицы будем использовать буфер строк – массив размера одной строки. Если в данный момент обрабатываются элементы k -ой строки, то в нижнем буфере строк находится $(k - 1)$ -ая строка, в верхнем буфере строк k -ая строка, а в трех дополнительных элементах соответствующие элементы $(k + 1)$ -ой строки. После обработки данного элемента 1 элемент покидает наш кэш (последний из нижнего буфера

строки), остальные сдвигаются на 1 и еще 1 новый элемент подгружается.

Буферы строк, идущие через окно 3x3 представлены на рисунке 5.

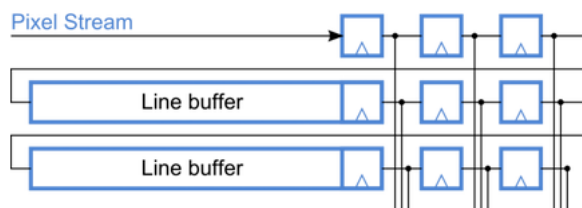


Рис. 5. Буферы строк или linebuffer и окно 3x3

Попробуем написать последнее в двух вариантах:

1. работает одна единственная рабочая единица, реализующая данный метод;
2. работает несколько рабочих единиц, каждая из которых обрабатывает данным методом различные куски изображения.

Вариант реализации окна 3x3 на OpenCL представлен на рис. 6. Массив *cache* как раз представляет кэш-память – 2 буфера строки и еще 3 элемента, цикл *for* осуществляет сдвиг на каждой итерации.

```

... some works...
    int cache[2*cols+3];
... some works...
    while (count != iter) {
        #pragma unroll
        for (int i = 2*cols+2; i > 0; --i)
            cache[i] = cache[i-1];
        if (count >= 0) cache[0] = input_image[count];
        else cache[0] = 0;
        Sobel...
    }

```

Рис. 6. Скользящее окно на OpenCL

Для сравнения код на Verilog, реализующий функционал того же окна 3x3 представлен на рис. 7. Сравнив эти две реализации, можно убедиться, насколько актуален вопрос поиска высокоуровневых решений для ПЛИС и, как частный случай, освоение инструментов, позволяющих программировать с использованием OpenCL.

Для оптимизации работы с памятью вместо классического *malloc* при выделении памяти для массива, который будет передаваться в ПЛИС, полезно использовать *alignedMalloc* для выравнивания памяти. Выравнивание ускоряет доступ к памяти за счет генерации кода, в котором на чтение и запись ячейки памяти требуется по одной инструкции. Выравнивание памяти на стороне хоста позволяет также передавать данные с хоста в ПЛИС и обратно, используя прямой доступ к памяти (DMA), а также повышает эффективность переноса буфера [6]. Реализовать можно например так, как показано на рис. 8.

Возвращаясь к коду на Си и OpenCL: если запустим его на одном единственной рабочей единице, то получим время обработки одного изображения, равное 5.21 секундам. Запустим на двух рабочих единицах – 4.87 секунд, на 8 – 4.94 секунд, на 16 – 10.74.

Основная проблема заключается в долгом обмене с памятью. Несмотря на то, что был создан кэш, сдвиг в кэше осуществляется быстро, но добавление нового элемента долгое и происходит 1280*720 раз – по размеру массива.

```

module shift_fsm
  #(parameter Width = 8)
  (input clk, reset,
   output reg [7:0] x0, y0, z0,
   output reg [7:0] x1, y1, z1,
   output reg [7:0] x2, y2, z2)

always @(posedge clk or negedge reset)
  if (!reset)
    begin
      x0 <= 8'd0; y0 <= 8'd0; z0 <= 8'd0;
      x1 <= 8'd0; y1 <= 8'd0; z1 <= 8'd0;
      x2 <= 8'd0; y2 <= 8'd0; z2 <= 8'd0;
    end
  else
    begin
      x0 <= line1_data;
      y0 <= line2_data;
      z0 <= line3_data;

      x1 <= x0;
      y1 <= y0;
      z1 <= z0;

      x2 <= x1;
      y2 <= y1;
      z2 <= z1;
    end
endmodule

```

Рис. 7. Скользящее окно на Verilog

```

const unsigned AOCL_ALIGNMENT = 64;
...
void *alignedMalloc (size_t size) {
  return _aligned_malloc (size, AOCL_ALIGNMENT);
}

void alignedFree (void *ptr) {
  _aligned_free (ptr);
}

```

Рис. 8. Aligned Malloc для хоста, чтобы оптимизировать обмен данными с сопроцессором

Для ускорения этого процесса используем каналы (channel) OpenCL. В каналы можно записывать некоторые данные и они будут там находиться, пока мы их оттуда не вытащим (либо завершится выполнение приложения). Используются для обмена информацией между парой ядер, минуя глобальную память.

Теперь в приложении будет всего 3 ядра: Producer, Consumer и Sobel. И работать они будут в форме конвейера (наглядно представлено на рис. 9):

$$GlobalMem \rightarrow Producer \rightarrow Sobel \rightarrow Consumer \rightarrow GlobalMem$$

либо

$$GlobalMem \rightarrow Producer \rightarrow Sobel1 \dots k \rightarrow Consumer \rightarrow GlobalMem$$

Код ядер Producer и Consumer представлен на рис. 10.

Здесь опять же, несмотря на кажущийся вложенный цикл все внутренние циклы будут выполняться параллельно (вернее максимально параллельно, в зависимости от значения works и доступных ресурсов).

Код ядра Sobel останется таким же за исключением того, что данные теперь будут поступать из c1 и отправляться в канал c2 (рис. 11).

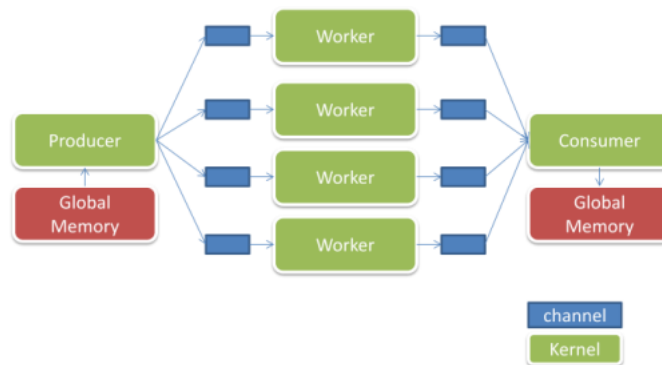


Рис. 9. Конвейер из ядер, работающих на укорителе для оптимизации доступа в глобальную память

```

__kernel void Producer (unsigned int __global * restrict input_image) {
    int it = cols*rows/works;
    #pragma unroll works
    for (int k = 0; k < works; ++k)
        for (int i = 0; i < it; ++i)
            write_channel_altera (c1[k], input_image[i+k*it]);
}

//-----
__kernel void Consumer (unsigned int __global * restrict output_image) {
    int it = cols*rows/works;
    #pragma unroll works
    for (int k = 0; k < works; ++k)
        for (int i = 0; i < it; ++i)
            output_image[i+k*it] = read_channel_altera (c2[k]);
}
    
```

Рис. 10. Код ядер Producer и Consumer

Теперь 3 ядра работают одновременно данные непрерывно поступают в канал, обрабатываются фильтром и отправляются в глобальную память. Лучшее время работы получается при использовании 1 Producer, 2 Sobel и 1 Consumer. Получим порядка 120 кадров в секунду (FPS). При использовании одного ядра Sobel Producer обрабатывает быстрее и простаивает, а при использовании трех и более ядер Sobel Producer не успевает заполнять все каналы и ядра Sobel не все работают параллельно.

Причины такого ускорения за счет конвейеризации доступа в память и вычислительных операций кроются в устройстве самого ПЛИС. Большинство ПЛИС используют для хранения конфигурации ячейки памяти статического ОЗУ, которые могут быть многократно перепрограммируемыми. Одно из главных преимуществ этой технологии – они позволяют достаточно легко и быстро реализовать и протестировать все новые идеи, относительно легко подстраиваясь под новые стандарты и протоколы. Однако принцип работы статического ОЗУ таков, что при случайных обращениях к той или иной ячейке результат вы получите только на следующем такте. То есть в момент, когда вы заносите в ячейку памяти новое значение и из другой команды пытаетесь его считать, на текущем такте вы получите лишь старое, хранившееся там ранее значение, а новое только на следующем такте. Но если данные через эту ячейку пойдут в форме конвейера, то можно получать очередное значение на каждом такте. Подробнее об устройстве статического ОЗУ в [1] или [5].

Конвейер хорош еще и тем, что он сам для себя является памятью для хранения промежуточных результатов, откуда и еще снижение нагрузки на пропускную способность па-

```

...some works...
    int cashe[2*cols+3];
...some works...
    while (count != iter) {
        #pragma unroll
        for (int i = 2*cols+2; i > 0; --i)
            cashe[i] = cashe[i-1];
        if (count >= 0) cashe[0] = read_channel_altera (c1[idx]);
        else cashe[0] = 0;
        ...some works...
        write_channel_altera (c2[idx], G)
    }

```

Рис. 11. Скользящее окно на OpenCL с использованием каналов OpenCL

мяти, и уменьшение простоя функциональных устройств. Современные кристаллы ПЛИС позволяют строить конвейеры из сотен арифметических операций, что и обеспечивает беспрецедентный объем полезной работы в среднем за такт.

4. Заключение

Если алгоритм не содержит сложной логики и/или требует небольшого вычислительного ресурса, однако требует достаточно большой глобальной пропускной способности памяти, то наиболее оптимальный подход к программированию для ПЛИС для этого алгоритма следующий: в ядре выполняется конвейеризованное однопоточное приложение. Подобный подход уменьшает влияние на пропускную способность глобальной памяти, так как позволяет хранить ранее вычисленные строки в локальной памяти, устраняя необходимость постоянного обращения к глобальной памяти. При таком подходе осуществляется только одно чтение из глобальной памяти и одна запись в глобальную память на пиксель. На FPGA можно создавать много ядер для обработки, однако при внедрении большого количества ядер логика управления памятью будет занимать большое количество ресурсов на устройстве. Чтобы избежать копирования схемы памяти, следует использовать 2 дополнительных ядра, предназначенные для обработки доступа к глобальной памяти: один на чтение, другой на запись. Это предотвратит ненужное копирование логики работы с памятью и позволит реализовать больше параллельных путей: каждое ядро, реализующее алгоритм получает данные из своего собственного канала и записывает их обратно в свой собственный канал.

Литература

1. Clive Maxfield.: The Design Warrior's Guide to FPGAs. Device, Tools and Flows// 2004, Mentor Graphics Corporation and Xilinx, Inc., 527 pages.
2. J. M. P. Cardoso, P. C. Diniz: Compilation Techniques for Reconfigurable Architectures.// Springer, 2009, 223 pages.
3. Kan Shi, David Boland, George A. Constantinides: Efficient FPGA Implementation of Digit Parallel Online Arithmetic Operators // Technology (FPT), 2014 International Conference on, 2014, pages 115-122.
4. Thomas & Moorby's: The Verilog Hardware Description Language.// Kluwer Academic Publishers, 2002, 381 pages.
5. David Harris, Sarah Harris: Digital Design and Computer Architecture.// Morgan Kaufman, 2013, 675 pages.
6. Intel FPGA SDK for OpenCL Programming Guide UG-OCL002 | 2017.12.08, 193 pages.

7. Altera SDK for OpenCL Best Practices Guide: Last updated for Quartus Prime Design Suite: 15.1 Subscribe Send Feedback UG-OCL003 2015.11.02, 82 pages.
8. The OpenCL Specification Version:2.2 Khronos OpenCL Working Group May 12, 2017, 277 pages.
9. J. Tompson, K. Schlachter: An Introduction to the OpenCL Programming Model// Distributed Computing CSCI-GA.2631-001 (Multicore Programming), 2012, pages 21-28.
10. Steve Kiltz: Advanced FPGA Design. Architecture, Implementation, and Optimization.// 2007 by John Wiley and Sons, Inc., 321 pages.
11. А. А. Кондратьев Параллельная обработка и кластеризация изображений на основе самоорганизующихся карт Кохонена с использованием кластерных и графическихвычислителей// Наукоемкие информационные технологии, Переславль-Залесский, 2012, 14 с.
12. Andrea Sanny, Viktor K. Prasanna: Energy-Efficient Median Filter on FPGA // Reconfigurable Computing and FPGAs (ReConFig), 2013 International Conference on, pages 1-8.